

海葵毒素多肽的分离和初步表征

禚如朋¹⁾ 付宏征¹⁾ 仲崇波²⁾ 王晓良²⁾ 林文翰^{1)*} 张礼和¹⁾

(¹) 北京大学医学部天然药物及仿生药物国家重点实验室, 北京 100083

(²) 中国医学科学院药物研究所, 北京 100050)

摘要 经冻融法提取, 丙酮沉淀, SP Sephadex C 25 强离子交换和 HPLC ODS C₁₈ 反相色谱层析, 从海葵 *Actinia cari* 中提纯到两个新的毒素多肽, 命名为 RSAP I 和 RSAP II, 经 SDS 聚丙烯酰胺凝胶电泳 (SDS-PAGE) 和基质辅助激光解吸电离飞行时间质谱 (MALDI-TOF-MS) 鉴定 RSAP I 和 RSAP II 均为单一成分, 相对分子质量分别为 5 008 和 4 992。初步钠通道药理学实验表明, RSAP I 和 RSAP II 对豚鼠心室肌细胞钠通道表现出活性, RSAP I 使钠离子内流增加, 起开放作用; RSAP II 使钠离子内流减少, 起阻滞作用。二者的圆二色谱均表现为 100% β 转角。

关键词 海葵, 海葵毒素, 分离纯化

学科分类号 R282.77

海葵是一种海洋腔肠动物, 其触手及身体中富含各种有毒蛋白质和多肽^[1], 当受到机械或化学刺激时, 毒素就被释放出来, 海葵就是籍此毒素进行防御和捕食^[2]。目前一系列具有神经毒^[2]和心脏毒^[3~5]的海葵多肽已经被分离出来。现代药理学研究表明^[6~8], 海葵多肽与可兴奋细胞膜上电压依赖性钠通道特异性结合, 延长去极化过程中钠通道的开放状态, 致使钠离子内流增加。虽然这种生理学作用与蝎毒类似, 但是鉴于其高亲和性和可区分神经、心脏和骨骼肌等不同钠通道形式的能力, 海葵毒素是更有价值、更具吸引力的钠通道研究工具药^[9]。

海葵毒素多肽是一类相对分子质量范围在 3 000~6 000、由 2~3 个二硫键交联着的单链碱性分子, 基于其一级结构可分为三种类型^[3,7]。但以后分离出来的 calitoxin^[8]、BTTX II^[10] 和 AEX II、AEX III^[11] 与经典的三种类型有较大不同, 代表着新颖结构类型的海葵多肽毒素; 另外作用于钾通道的海葵毒素多肽^[12]也被分离出来, 这都体现了海葵多肽毒素的多样性。尽管海葵是我国丰富的近海动物之一, 但是海葵多肽毒素的分离和表征尚未见报道, 为开发利用祖国海洋生物资源, 我们对南海玫瑰海葵进行了研究, 以期得到结构类型新颖和作用机理独特的海葵毒素多肽。

海葵毒素多肽富集在 50%~80% 的丙酮沉淀中^[13], 因此我们采用冻融法提取, 丙酮分级沉淀, SP Sephadex C-25 层析分离和 HPLC ODS C₁₈ 制备了两个新的海葵多肽 RSAP I 和 RSAP II, 这在海

葵多肽毒素属首次报道, 并对其物理化学性质进行了初步表征, 初步钠通道药理学实验结果表明海葵多肽 RSAP I 和 RSAP II 对豚鼠心肌钠通道表现出活性。

1 材料和方法

1.1 材料

1.1.1 海葵: 玫瑰海葵 *Actinia cari* (采自三亚), 单体海葵, 圆柱形, 长 10 cm, 直径 4 cm, 触手及口盘部分绿色, 吸盘部分肉色, 两者之间为红色。

1.1.2 动物: 体重 200~250 g 左右, 雄性豚鼠由中国医学科学院实验动物中心。

1.1.3 试剂: 牛血清白蛋白为 Sigma 公司产品; SP Sephadex C-25 为 Phamacia 公司产品; 乙腈为 Tedia 产品; 其余试剂为国产分析纯产品。

1.1.4 仪器: BSZ-100A 自动部分收集器 (上海沪西分析仪器厂); DYY-III 8A 电泳仪 (北京六一仪器厂); 高效液相色谱仪: 分析半制备型 Alltech 高效液相系统 (4426 HPLC pump, Alltech UV-Vis 200 Detector), HPLC 柱 Alltech ODS C₁₈, 4.60 mm × 250 mm, 5 μm; 离心机为 Beckman 公司产品; 紫外分光光度计 (北京第二光学仪器厂); LGJ0.5-II 冷冻干燥机 (军事医学科学院实验仪器厂); LDI-1700 基质辅助激光解吸/电离飞行时间质谱仪 (Linear Science Inc.) (TOF-MS); 氨基酸

* 通讯联系人。

Tel: 010-62062210, E-mail: whlin@mail.bjmu.edu.cn

收稿日期: 2000-09-11, 接受日期: 2000-11-03

自动分析仪(日立835-50型); EPC-7型膜片钳放大器(德国list公司); J720圆二色仪(JAC公司产品)。

1.2 方法

1.2.1 粗海葵毒素多肽的提取和制备:四个玫瑰海葵(约1kg)放在烧杯中,覆以蒸馏水,置于-20℃低温冰柜中冷冻,经三轮冰冻-融化循环后,纱布过滤弃去海葵体,滤液置-20℃低温冰柜中备用。上述提取液,分别用20%、50%、80%丙酮分级沉淀。

1.2.2 SP Sephadex C-25 强阳离子柱层析: 将50%~80%丙酮沉淀0.5g溶于0.01 mol/L的NH₄OAc缓冲液(pH 4.5)中,上SP Sephadex C-25柱。该柱预先用0.01 mol/L的NH₄OAc缓冲液(pH 4.5)平衡。上样完毕后用0.01 mol/L的NH₄OAc缓冲液(pH 4.5)淋洗,再用0.20 mol/L的NH₄OAc缓冲液(pH 4.5),1 mol/L的NH₄OAc缓冲液(pH 4.5)梯度洗脱,最后用1 mol/L的NH₄OAc缓冲液(pH 5.2)洗脱。

1.2.3 反相色谱制备: 收集SP Sephadex C-25柱峰I,上Sephadex G-25柱,1 mmol/L HCl淋洗脱盐,Sephadex G-25柱脱盐样品最后经HPLC ODS C₁₈柱制得纯品RSAP I和RSAP II,HPLC ODS C₁₈柱先用10%的乙腈水溶液(含0.1%TFA)平衡,再线性梯度洗脱(30 min内乙腈浓度由10%递增到35%,然后3 min之内递增到99%,维持在99%3 min冲洗层析柱,再3 min之内回到10%平衡层析柱),流速恒定1 ml/min。

1.2.4 纯度鉴定及相对分子质量的测定: SDS聚丙烯酰胺凝胶电泳(PAGE)采用Tris-HCl缓冲系统,用18%的分离胶,3%的浓缩胶,电泳完毕用考马斯亮蓝R250常温染色1 h,再用7%甲醇、7%乙酸水溶液脱色。基质辅助激光解吸电离飞行时间质谱(MALDI-TOF-MS):用二次蒸馏水将样品配成1 g/L溶液,以 α -氰基肉桂酸(α -cyanocinnamic acid, CCA)为基质,质谱信号为单次扫描累加测得。

1.2.5 氨基酸组成分析: 用5.7 mol/L的盐酸水解,水解后的样品用日立835-50型氨基酸自动分析仪分析。

1.2.6 钠通道药理学实验: 雄性豚鼠(约200~250 g),处死后速取心脏,经Langendorff模型逆行灌注,分别经无钙液及酶液灌流,急性分离出单个适合膜片钳实验的心室肌细胞,用膜片钳全细胞记

录模式研究钠电流的变化。在室温(22~26℃)下用膜片钳全细胞记录模式研究去极化激活的钠通道电流。记录电极由内径为1.5 mm硼酸盐玻璃毛细管,经日本Narishige PP-83微电极拉制仪制成,阻抗2~5 M Ω 。信号经Ag/AgCl电极引导,由膜片钳(Axon Instruments)放大器(L/M EPC-7,德国)放大。实验过程由计算机软件pCLAMP5.51(Axon Instrument,美国)控制,通过放大器及A/D、D/A转换(Axon TL-1,美国)控制刺激的连续发放、信号采集和数据分析,并将信号存储于计算机硬盘中。

细胞外液组成为:NaCl 50 mmol/L, TEA-HCl 100 mmol/L, KCl 5.4 mmol/L, MgCl₂ 1 mmol/L, 葡萄糖 10 mmol/L, HEPES 5 mmol/L, CaCl₂ 1.8 mmol/L。

细胞内液组成为:KCl 140 mmol/L, MgCl₂ 0.5 mmol/L, EDTA 10 mmol/L, HEPES 10 mmol/L。用双蒸水配制,KOH调节pH值至7.20,微孔滤膜(0.22 μm)过滤后,分装在Eppendorf管中,0.8~1 ml/管,置于-20℃下冷冻,实验当天取出,自然融化。

1.2.7 圆二色谱测定: 50 μg克样品溶于1 ml蒸馏水中,25℃下在190~250 nm范围内测定CD谱,累加两次。

2 结果和讨论

玫瑰海葵全体经三轮冻融提取、丙酮分级沉淀、SP Sephadex C-25强阳离子柱层析分离、HPLC

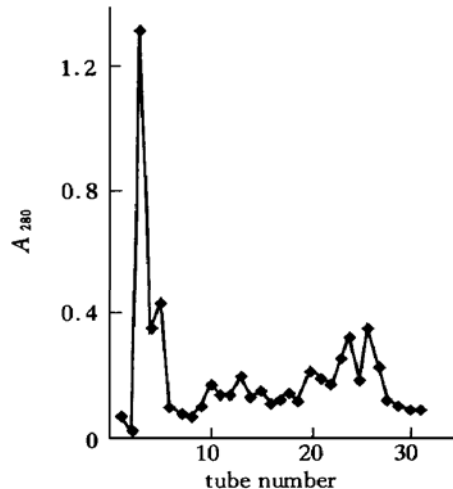


Fig. 1 Isolation of RSAP I and RSAP II by sulfurpropyl Sephadex ion-exchange chromatography

eluting gradient, 0.01 mol/L ammonium acetate, pH 4.5; following 0.20 mol/L ammonium acetate, pH 4.5; following completion of gradient, column was washed with 1.0 mol/L ammonium acetate, pH 5.2.

ODS C₁₈柱进一步分离纯化，便可得到纯品海葵毒素多肽 RSAP I 和 RSAP II (图 1 和图 2).

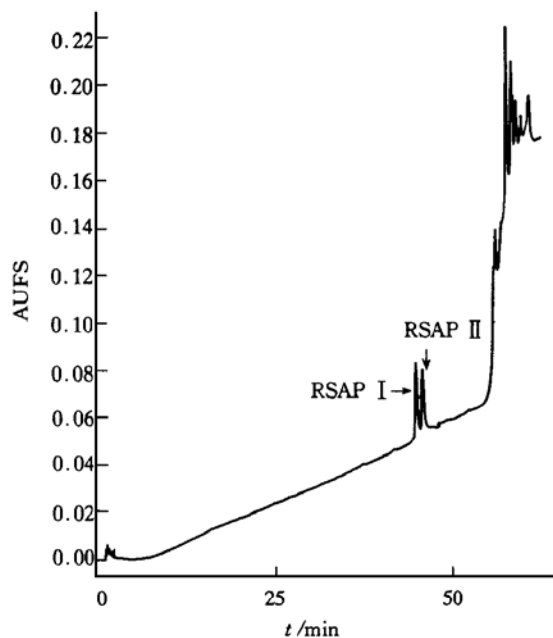


Fig. 2 Isolation of RSAP I and RSAP II by reverse phase HPLC

Peak I obtained from the column SP Sephadex G-25 was subjected to HPLC on a Alltech column (4.6 mm × 250 mm). The column was eluted with a gradient of acetone in 0.1% TFA.

基质辅助激光解吸电离飞行时间质谱 (MALDI-TOF-MS) 和氨基酸组成分析结果表明，RSAP I、RSAP II、RSAP III 和 RSAP IV 是从海葵

中发现的新的多肽。基质辅助激光解吸电离飞行时间质谱 (MALDI-TOF-MS) 在海葵多肽的研究中具有重要应用，一方面提供纯度信息，另一方面可以给出比较精确的相对分子质量数据，误差很小。与文献 [3] 比较发现，已知海葵多肽毒素的相对分子质量与 RSAP I 和 RSAP II 相差较大，只有 Ax III 与 RSAP II 的相对分子质量范围比较接近，但是它们的氨基酸组成相差较大 (表 1)：最明显的区别是，RSAP II 的氨基酸组成中没有脯氨酸，Ax III 却有四个脯氨酸；RSAP II 的氨基酸组成中具有四个苯丙氨酸和一个酪氨酸，而 Ax III 却没有苯丙氨酸和酪氨酸。因此我们认为 RSAP I 和 RSAP II 可能是从海葵中发现的新的多肽。

2.1 纯度鉴定和相对分子质量测定

反相色谱制备的 RSAP I 和 RSAP II (图 2) 经基质辅助激光解吸/电离飞行时间质谱 (MALDI-TOF-MS) 鉴定均为单一成分 (图 3)，相对分子质量分别为 5 008 和 4 992，质谱图上 5 009 m/z 为 [M + H]⁺ 峰，2 507 m/z 为 [M + 2H]²⁺ 双电荷峰，10 017 m/z 为 [2M + H]⁺ 二聚体峰，14 981 m/z 为 [3M + H]³⁺ 三聚体峰；RSAP IV 相对分子质量为 4 992，质谱图上 4 993 m/z 为 [M + H]⁺ 峰，2 499 m/z 为 [M + 2H]²⁺ 双电荷峰，9 999 m/z 为 [2M + H]⁺ 二聚体峰，15 000 m/z 为 [3M + H]³⁺ 三聚体峰。

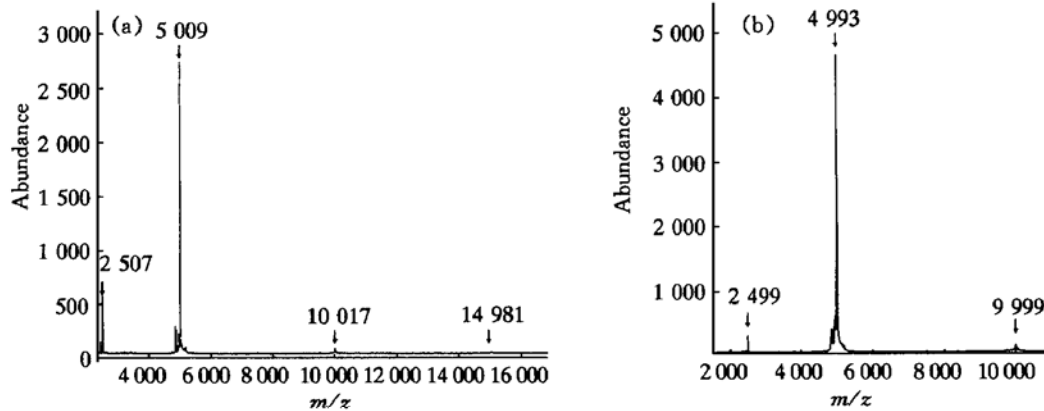


Fig. 3 MALDI/TOF/MS spectrum of RSAP I and RSAP II

Matrix: CCA; Laser instrument: N₂; Extractor: 9.3 kV; Repeller: 30 kV. The concentration of RSAP I and RSAP II was 1 g/L dissolved in double distilled water, then was mixed with CCA at a ratio of 1:1 (V/V), final concentration is 0.5 g/L.

RSAP I 和 RSAP II 的 SDS-PAGE 电泳分析结果也显示二者均为单一成分，但是给出二者相对分子质量约 20×10^3 左右，这是由于在电泳条件下多肽的异常行为所致^[13]。相对分子质量小于 15 ku

的多肽在通常使用的 SDS 电泳条件下出现异常行为是因为 SDS 多肽胶束大致是一个球形，而不是椭圆形，它们的长度和直径在同一个数量级，同时由于较高的多肽内部电荷不能被结合的 SDS 的电

荷所覆盖，所以导致电泳测定的相对分子质量异常。因此电泳分析结果不足以作为纯度鉴定标准，而 MALDI-TOF-MS 则可以给出比较准确的的相对分子质量和纯度信息。

2.2 氨基酸组成分析

本次实验没有测定半胱氨酸和色氨酸的含量，其他氨基酸含量见表 1。

Table 1 Amino acid composition of RSAP I, RSAP II and Ax III

	RSAP I		RSAP II		Ax III
	n/nmol	Number	n/nmol	Number	Number
ASX	1.532	3.63	3.020	4.32	4
THR	0.384	0.91	0.670	0.96	2
SER	0.752	1.78	1.370	1.96	4
GLX	1.306	3.09	2.238	3.20	1
GLY	1.477	3.50	2.597	3.72	8
ALA	0.961	2.28	1.615	2.31	2
CYS	ND	/	ND	/	6
VAL	1.184	2.81	2.018	2.89	2
MET	/	/	0.315	0.45	0
ILE	0.422	1.00	0.699	1.00	2
LEU	0.398	0.94	0.673	0.96	4
TYR	0.294	0.70	0.664	0.95	0
PHE	0.812	1.92	1.747	3.93	0
LYS	0.713	1.69	1.256	1.80	2
HIS	0.578	1.37	1.083	0.55	2
TRP	ND	/	ND	/	3
ARG	0.472	1.12	0.877	1.25	1
PRO	0	0	0	0	4
<i>M_r</i>	5008		4992		4883

ND: not determined.

2.3 钠通道活性鉴定

将心肌细胞钳制在 -80 mV，给予从 -80 至 -20 mV 的去极化，脉冲时间为 50 ms，引出一电压依赖性的内向电流，此即为钠通道开放电流。药物灌流后 1、3、5 min 时测定 I_{Na} ，研究药物对钠通道电流的影响。实验数据以均数 $\bar{x} \pm s$ 表示，数据处理采用 paired-t 检验。

10^{-6} mol/L 浓度下，RSAP I 使 I_{Na} 由用药前的 (3.12 ± 0.21) nA 增大到 (3.97 ± 0.14) nA， I_{Na} 增加了 $27.74\% \pm 4.61\%$ ($0.005 < P < 0.01$, $n = 3$)；RSAP II 使 I_{Na} 由用药前的 (3.27 ± 0.57) nA 减小到 (2.42 ± 0.52) nA， I_{Na} 减少了 $30.15\% \pm 9.22\%$ ($0.005 < P < 0.01$, $n = 4$)。实验结果见表 2。

通过对豚鼠心室细胞钠通道的实验，初步结果

表明， 10^{-6} mol/L 浓度下海葵多肽 RSAP I 和 RSAP II 都对钠通道表现出活性，RSAP I 使钠电流增加，表现为对钠通道的开放作用；RSAP II 使钠电流减少，表现为对钠通道的阻滞作用。

Table 2 Effect of sea anemone toxin polypeptides RSAP II on inward Na^+ current in ventricular cells of guinea pigs

Sample	Cell number	$I_{Na}(\text{CTRL}) / \text{nA}$	$I_{Na}^{(1)} / \text{nA}$	Paired-t Test	$I_{Na} \text{ change} / \%$
RSAP I	1	3.34	4.05	$0.005 < P < 0.01$	27.1
	2	2.70	3.69		
	3	3.32	4.16		
RSAP II	1	3.83	2.72	$0.005 < P < 0.01$	26.1
	2	1.65	0.88		
	3	3.38	2.88		
	4	4.23	3.20		

CTRL: control test, ¹⁾ 1 min after the drug was infused.

2.4 圆二色性测定

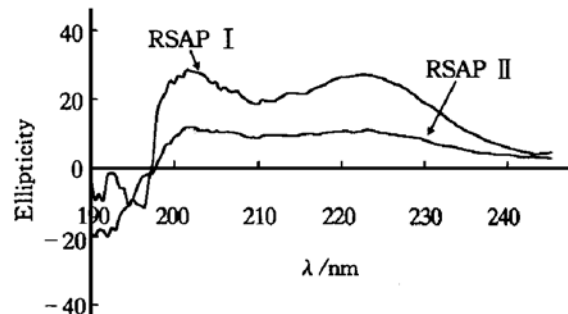


Fig. 4 CD spectrum of RSAP I and RSAP II

蛋白质在肽区域 (185~250 nm) 的 CD 谱与其次级结构具有直接关系。RSAP I 和 RSAP II 水溶液的圆二色谱在 201 nm 和 223 nm 处有两个近似等幅的正吸收带，前者是酰胺发色团 $\pi-\pi^*$ 跃迁产生，后者是 $\text{nr}-\pi^*$ 跃迁产生。采用 ch-2 模式进行计算，计算结果表明 RSAP I 和 RSAP II 的圆二色谱与标准 β 转角非常相似，都为 100% 的 β 转角。

在海葵毒素中高含量的 β 折叠和 β 转角结构是相当普遍的，但是 RSAP I 和 RSAP II 的圆二色谱都表现为典型的 β 转角，其二级结构非常相似，但生物功能差异很大，说明二者氨基酸序列应该具有很大的不同。

进一步的药理学实验，氨基酸序列测定，以及结构和功能关系研究正在进行之中。

参考文献

- 1 Beress L. Biologically active compounds from coelenterates. *Pure Appl Chem*, 1982, **54** (10): 1984
- 2 Norton R S. Structure and structure-function relationships of sea anemone proteins that interact with the sodium channel. *Toxicon*, 1991, **29** (9): 1051~1084
- 3 Ho C L, Ko J L, Lue H M, et al. Effect of equinatoxin on the guinea pig atrium. *Toxicon*, 1987, **25** (5): 659~664
- 4 Norton R S, Bobek G, Ivanov J O, et al. Purification and characterisation of proteins with cardiac stimulatory and hemolytic activity from the sea anemone *Actinia tenebrosa*. *Toxicon*, 1990, **28** (1): 29~41
- 5 Galettis P, Norton R S. Biochemical and pharmacological studies of the mechanism of action of tenebrosin-C, a cardiac stimulatory and hemolytic protein from the sea anemone *Actinia tenebrosa*. *Toxicon*, 1990, **28** (6): 695~706
- 6 Schwertz H, Bidard J N, Frelin C. Purification, sequence and pharmacological properties of sea anemone toxins from *Radianthus panmotens*, a new class of sea anemone toxins acting on the sodium channel. *Biochemistry*, 1985, **24** (14): 3554
- 7 Kem W R. *The Biology of Nematocysts*, New York: Academic Press, 1988. 375~405
- 8 Cariello L, de Santis A, Fiore F, et al. Calitoxin, neurotoxic peptide from the sea anemone *Calliactis parasitica*: amino acid sequence and electrophysiological properties. *Biochemistry*, 1989, **28** (6): 2484~2489
- 9 Halstead B W. *Poisonous and Venomous Marine Animals of the World*. 2nd. Princeton: The Darwin Press, 1988. 99~186
- 10 Shiomi K, Qian W H, Lin X Y, et al. Novel polypeptide toxins with crab lethality from the sea anemone *Anemonia erythraea*. *Biochim Biophys Acta*, 1997, **1335** (1~2): 191~198
- 11 Gendeh G S, Young L C, de Medeiros C L C, et al. A new potassium channel toxin from the sea anemone *Heteractis magnifica*: isolation, cDNA cloning, and function expression. *Biochemistry*, 1997, **36** (38): 11461~11471
- 12 Ferlan I, Lebez D. Equinaoxin, a lethal protein from *Actinia equina* I, purification and characterization. *Toxicon*, 1974, **12** (1): 57~61
- 13 郭尧君. 蛋白质电泳实验技术. 北京: 科学出版社, 1999. 131
- Guo Y J. Experimental technology of protein electrophoresis. Beijing: Scientific Press, 1999. 131

Isolation and Characterization of Toxin Polypeptides from Sea Anemone *Actinia cari*

ZHUO Ru-Peng¹⁾, FU Hong-Zheng¹⁾, ZHONG Chong-Bo²⁾,
WANG Xiao-Liang²⁾, LIN Wen-Han^{1)*}, ZHANG Li-He¹⁾,

(¹) State Key Laboratory of Natural and Biomimetic Drugs, Peking University, Beijing 100083, China;

(²) Institute of Materia Medica, Chinese Academy of Medical Sciences, Beijing 100050, China)

Abstract Two toxin polypeptides (designated RSAP I and RSAP II) have been isolated from Sea anemone *Actinia cari*. Toxins isolation was accomplished by freezing-thawing extraction, acetone fractional precipitation, cation exchange chromatography on SP Sephadex C 25 and reverse phase HPLC on ODS C₁₈. They were found to be homogenous by SDS-PAGE and MALDI-TOF-MS, and their relative molecular masses are 5 008 and 4 992, respectively. They are found to be active on sodium channel in Guinea pig cardiac cell, RSAPI, increasing inward Na (+) currents, opens the sodium channel; RSAP II, decreasing inward Na (+) currents, inhibits the opening of the sodium channel. The circular dichroic spectra of these two polypeptides are 100% β turn.

Key words *Actinia cari*, sea anemone toxin, purification

* Corresponding author. Tel: 86-10-62062210, E-mail: whlin@mail.bjmu.edu.cn

Received: September 11, 2000 Accepted: November 3, 2000